

## 自動現像機의 温度特性에 関한 檢討

高麗大學校 保健專門大學 放射線科

申貴順 · 崔在淑 · 金永煥 · 許俊 · 朴俊哲 \*

### Study on the Characteristic of Developing Temperature by Automatic Processor

Gwi Soon Shin, Jae Sook Choi, Young Hwan Kim, Joon Huh, Jun Chul Park\*

Dept. of Radiotechnology, Junior College of Public Health and Medical Technology, Korea University

#### I. 서 론

최근에 현상 조건이 일정하고 단시간에 처리가 가능한 자동현상기가 많이 보급되어, 그 장점을 살피면서 능력을 충분히 발휘하기 위해 장치의 특성을 잘 알고 충분한 관리를 해야한다.<sup>1,2)</sup>

현상처리를 하는 과정에서 필름의 사진 특성에 영향을 미치는 중요한 인자는 현상액의 종류, 피로도, 현상시간, 현상온도와 현상중의 교반 등이다.<sup>3,4)</sup>

이 중에서 현상액의 종류는 그 필름에 지정된 현상액을 사용하고 현상액의 피로는 보충액을 추가하므로서 사진 특성을 거의 일정하게 유지할 수 있도록 되어 있다.

자동현상기 사용시 현상시간은 항상 일정하고 현상중의 교반은 현상기 안에서 같은 속도로 자동 교반되므로 현상처리 과정에서 사진 특성에 가장 영향을 미치는 것을 현상온도이다.<sup>5)</sup>

이에 저자는 현상온도에 따른 몇 가지 특성에 대해서 실험한 결과를 보고하는 바이다.

#### II. 실험기재 및 방법

##### 1. 실험기재

X선 장치 : Toshiba DC-15kB 500mA, 150 kVp,

Siemens TRIDOROS 5 S

감도측정기 : Quali-Trol II sensitometer

현상기 : Sakura New QX 1200 (90 sec)

증감지 : Kodak Lanex Regular screen, KRU. PPA medium speed screen

Film : Kodak ortho H.  
Fuji Rx.

농도계 : SAKURA Densitometer PDA-81

Phantom : 10 cm Acryl phantom, 20 cm Acryl step wedge

격자 : 8 : 1 Grid

##### 2. 실험방법

현상액의 온도 변동에 따른 사진 특성을 알기 위해서 일반적으로 많이 쓰여지는 비정색성필름 Fuji Rx 와 정색성필름 Kodak OH 를 Sensitometer로 노광시키는 방법과 표준 증감지와 Fuji Rx 필름을 조합시킨 것과 회토류 증감지와 Lanex 와 Kodak OH 필름을 조합시킨 것을 시간감도 측정방법으로 계단 노광하였다.

또 피사체 투과 후의 사진 특성을 알기 위해서 두께 10 cm의 Acryl phantom에 8 : 1 격자를 사용하고 관전압 80 kVp에서 특성곡선을 작성하였다. 이때 노광에 따른 오차를 줄이기 위해서 촬영된 필름을 각각 11 등분으로 절단하고 현상온도는 28 °C에서 30 °C 사

\* 圓光保健專門大學 放射線科 Dept. of Radiotechnology, Won Kwang Public Health Junior College

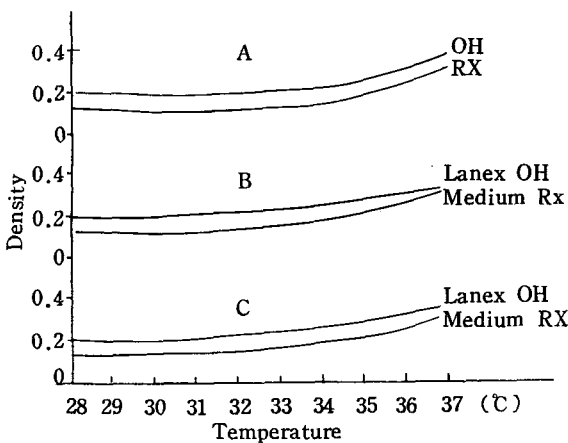


Fig. 1. Temperature-fog curve

- A. Exposure made with sensitometer
- B. Exposure made with time scale method
- C. Phantom; Acryl 10 cm thick

이로 1°C 간격으로 변경 처리하였다.

### III. 실험 결과

#### 1. 현상온도에 따른 fog 치

현상온도에 따른 fog치는 그림 1에서와 같이 현상온도가 상승할수록 fog는 증가되고 있다.

##### i. Sensitometer에 의한 방법

현상온도 28°C 때 Rx 필름이 0.12, OH 필름이 0.20으로 OH 필름이 심한 fog를 나타냈다. 35°C 때 Rx 필름이 0.18, OH 필름이 0.24로 현상온도의 상승에 따라 fog도 점차로 증가되고 35°C 이상에서는 급격히 증가되어 37°C 때 Rx 필름이 0.32, OH 필름이 0.38로 Rx 필름이 현상온도 증가에 따라 급격한 증가를 보이고 있다.

##### ii. 시간감도측정 방법

현상온도 28°C 때 Medium screen과 Rx 필름 조합시 농도 0.12, Lanex Screen과 OH 필름 조합시 농도 0.20으로 Lanex Screen과 OH 필름 조합시가 심한 fog를 나타냈다. 35°C 때 Medium Screen과 Rx 필름 조합시 0.21, Lanex Screen과 OH 필름 조합시 0.27로 현상온도의 상승에 따라 fog도 점차로 증가되고 35°C 이상에서 급격히 증가되어 37°C 때 Medium screen과 Rx 필름 조합시 0.32, Lanex screen과 OH 필름 조합시 0.33으로 나타났다.

또한 피사체 투과후의 fog치를 알기 위해서 행한 실험에서도 35°C 까지는 거의 같은 치를 나타내고 있으

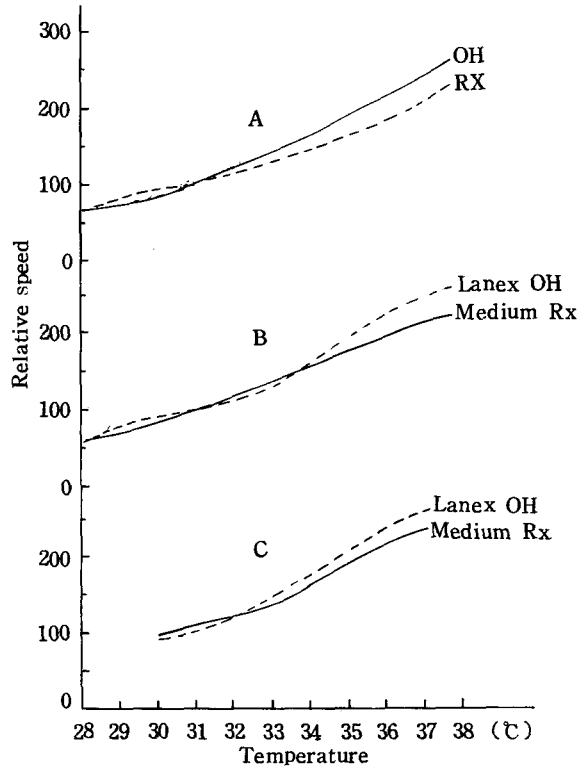


Fig. 2. Temperature-speed curves driven from the characteristic curves

- A. Exposure made with sensitometer
- B. Exposure made with time scale method
- C. Phantom; Acryl 10 cm thick

나 그 이상에서는 증가되고 있었다.

이상의 실험결과 Rx 필름 사용시 각 방법이 별 차이가 없는 것으로 나타났으나 OH 필름 사용시 28°C 때는 0.20으로 같으나 37°C 때는 sensitometer에 의한 방법은 0.38, 시간감도측정 방법은 0.33으로 나타나 sensitometer에 의한 방법이 더 심한 fog 증가를 보이고 있음을 알 수 있다.

#### 2. 현상온도에 따른 감도비

현상온도에 따른 감도비는 그림 2와 같이 현상온도가 증가할수록 감도비도 증가되고 있다.

##### i. Sensitometer에 의한 방법

현상온도 31°C 감도를 100으로 했을 때, 35°C 때 Rx 필름이 167, OH 필름이 178, 37°C 때 Rx 필름이 195, OH 필름이 263으로 나타나 현상온도가 상승할수록 감도가 점차로 증가되고 있으며 현상온도 35°C, 37°C에서 31°C와 동일한 흡화도를 내기 위해서 각각

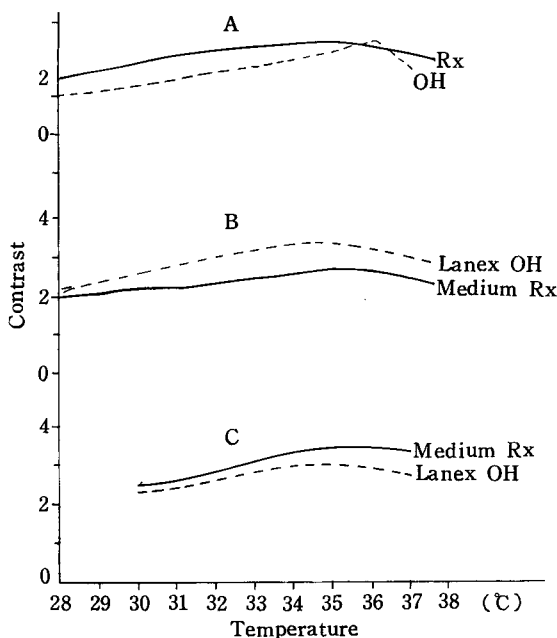


Fig. 3. Temperature-contrast curves

- A. Exposure made with sensitometer
- B. Exposure made with time scale method
- C. Phantom ; Acryl 10 cm thick

의 조사선량을 Rx 필름 사용시  $1/1.67, 1/1.95$ 로, OH 필름 사용시  $1/1.78, 1/2.68$ 로 줄일 수 있다

#### ii. 시간감도측정 방법

현상온도  $31^{\circ}\text{C}$ 에서의 감도를 100으로 했을 때,  $35^{\circ}\text{C}$  때 Medium screen과 Rx 필름 조합시  $182 \sim 191$ , Lanex screen과 OH 필름 조합시  $195 \sim 204$ ,  $37^{\circ}\text{C}$  때 Medium screen과 Rx 필름 조합시  $214 \sim 234$ , Lanex screen과 OH 필름 조합시  $251 \sim 257$ 로 나타나 현상온도가 상승할수록 감도가 점차로 상승하고 있으며 현상온도가  $35^{\circ}\text{C}, 37^{\circ}\text{C}$ 에서  $31^{\circ}\text{C}$ 와 동일한 혹화도를 내기 위해서 각각의 조사선량을 Medium screen과 Rx 필름 조합시  $1/1.82 \sim 1.91, 1/2.14 \sim 2.34$ , Lanex screen과 OH 필름 조합시  $1/1.95 \sim 2.04, 1/2.51 \sim 2.57$ 로 줄일 수 있다.

이상의 실험결과 현상온도 상승에 따라 감도가 점차로 증가함을 알았으며, OH 필름에 의한 감도가 Rx 필름에 의한 감도보다 더 크게 나타났고 sensitometer에 의한 방법보다 시간감도측정 방법에 의한 감도가 크게 나타났다.

### 3. 현상온도와 대조도

현상온도에 따른 대조도는 그림 3에서와 같이 현상

온도  $35^{\circ}\text{C}$  또는  $36^{\circ}\text{C}$  때 최고치를 나타내며 그 이상에서는 대조도가 저하되고 있다.

#### i. Sensitometer에 의한 방법

현상온도  $31^{\circ}\text{C}$  때 Rx 필름이  $2.90$ , OH 필름이  $2.50$ 으로, Rx 필름이 대조도가 좋은 것으로 나타났다.

$35^{\circ}\text{C}, 36^{\circ}\text{C}, 37^{\circ}\text{C}$  때 Rx 필름이 각각  $3.5, 3.3, 3.15$ 로, OH 필름이 각각  $3.1, 3.4, 2.75$ 로 Rx 필름은  $35^{\circ}\text{C}$ 에서  $3.5$ 로, OH 필름은  $36^{\circ}\text{C}$ 에서  $3.4$ 로 최고치를 나타냄을 알았다.

#### ii. 시간감도측정 방법

현상온도  $31^{\circ}\text{C}$  때 Medium screen과 Rx 필름 조합시  $2.29$ , Lanex screen과 OH 필름 조합시  $2.78$ 로 나타났으며 현상온도가 상승함에 따라 대조도가 커져서  $35^{\circ}\text{C}, 36^{\circ}\text{C}, 37^{\circ}\text{C}$  때 Medium screen과 Rx 필름 조합시 각각  $3.40, 3.30, 3.15$ 로  $35^{\circ}\text{C}$ 에서 최고치를 나타내며 그 이상에서는 저하되고 있다.

Acryl phantom을 사용한 관전압  $80\text{kVp}$ 에서는  $31^{\circ}\text{C}$  때 Medium screen과 Rx 필름이  $2.57$ , Lanex screen과 OH 필름이  $2.50$ 으로 나타났으며 현상온도 상승에 따라 대조도가 커져서  $35^{\circ}\text{C}, 36^{\circ}\text{C}, 37^{\circ}\text{C}$ 에서 Medium screen과 Rx 필름 조합시 각각  $3.40, 3.50, 3.30$ , Lanex screen과 OH 필름 조합시 각각  $3.0, 2.90, 2.75$ 로 Medium screen과 Rx 필름 조합시  $36^{\circ}\text{C}$ 에서, Lanex screen과 OH 필름 조합시  $35^{\circ}\text{C}$ 에서 최고치를 나타냄을 알았다.

이상의 실험결과 모두 별 차이가 없으며 피사체없이 제단 노광시킨 것에서는 Lanex screen과 OH 필름을 조합한 것이, Acryl phantom을 사용한 관전압  $80\text{kVp}$ 에서는 Medium screen과 Rx 필름을 조합한 것이 대조도가 더 큼을 알았다.

## IV. 임상응용결과

현상온도를  $35^{\circ}\text{C}$ 로 올리고 현상 처리하기 위해서 종전의  $31^{\circ}\text{C}$ 에서 현상 처리하면 활영조건을 각각 감도가 증가되는 값만큼 활영조건을 감소시키고 현상처리를 한 결과 좋은 대조도와 선예도의 사진을 얻을 수 있었다 (Fig. 4 참조)

## V. 결 론

자동현상기의 현상온도 설정에 관한 실험을 통해서 다음과 같은 결론을 얻었다.

1. fog 농도는 온도와 함께 증가되며  $35^{\circ}\text{C}$ 부터는 급격한 상승을 나타내고 있다.

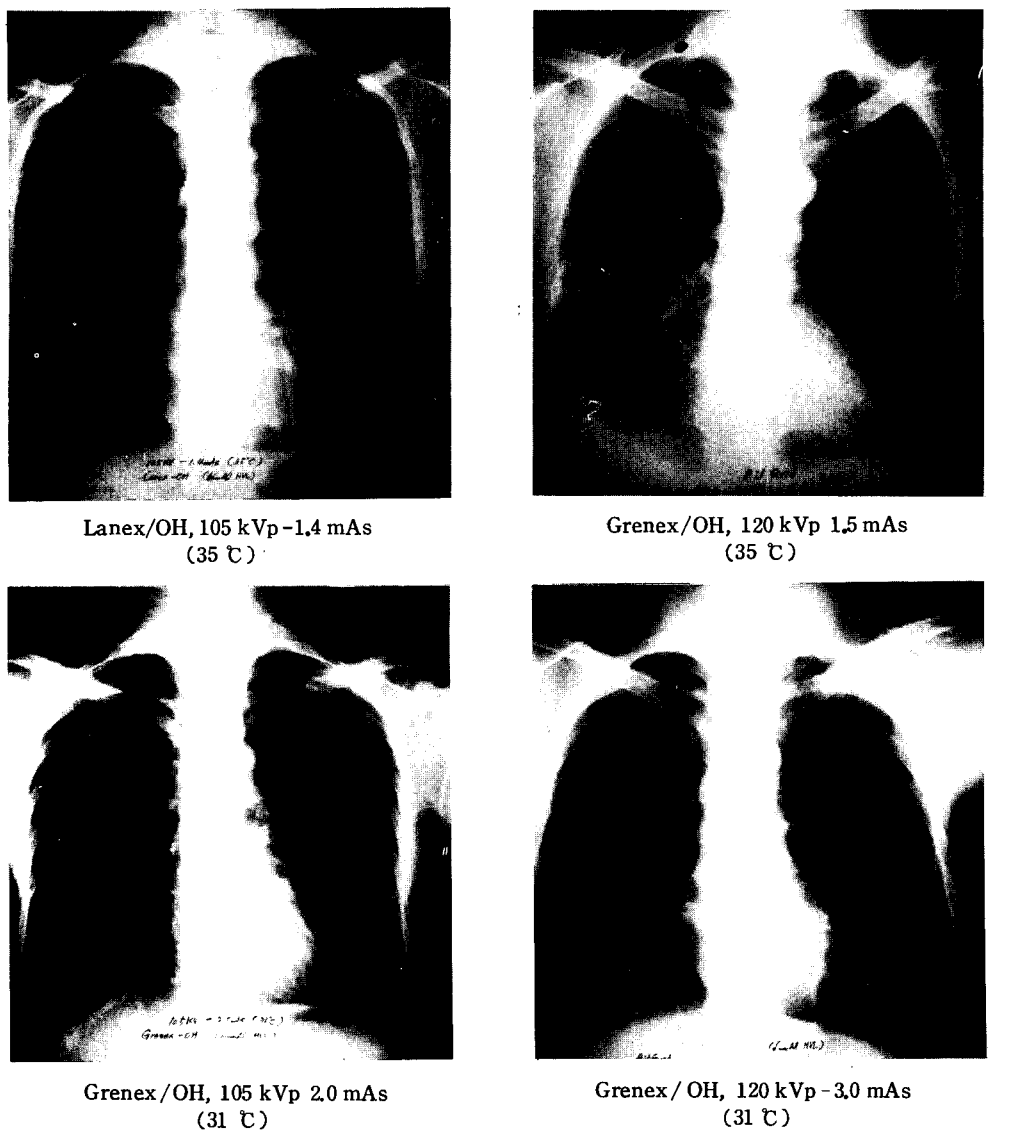


Fig. 4.

2. 현상온도가 상승할수록 감도는 증가되고 있었다
3. 현상온도 35 °C까지는 대조도가 증가되고 있으나 그 이상의 온도에서는 저하되고 있다.  
이상에서 현상온도 35 °C 정도에서 대조도가 비교적 적당하다고 사료되나 각 필름에는 특성이 있으므로 그 특성에 따라 사용하지 않으면 안된다

#### 参考文献

1. 西川英之・津中敏之・人江一成：自現裝置の現像。

- 定着液の管理, 日本放射線技術學會雑誌, 22(2) : 163, 1966.
2. 姜弘錫・金昌均・許俊：自動現像裝置의 現像液과 定着液의 管理, 韓放技研誌, 1(1) : 61, 1978.
3. 許俊：放射線写真技術, 新光出版社, 165, 1976.
4. 許俊：X線필름의 感度測定法, 韓放技研誌, 1(1) : 76, 1978.
5. 大坪重光・足立秀夫：自動現像機による温度特性, 日本放射線技術學會雑誌, 26(1) : 17, 1969 .